

ΕΘΝΙΚΟ ΜΕΤΣΟΒΙΟ ΠΟΛΥΤΕΧΝΕΙΟ
ΣΧΟΛΗ ΗΛΕΚΤΡΟΛΟΓΩΝ ΜΗΧΑΝΙΚΩΝ ΚΑΙ ΜΗΧΑΝΙΚΩΝ ΥΠΟΛΟΓΙΣΤΩΝ
Μονάδα Προβλέψεων & Στρατηγικής

Επιχειρηματικές Προβλέψεις: Μέθοδοι & Τεχνικές
Special Events and Actions Διάλεξη 4



Περιεχόμενα

Επιχειρηματικές Προβλέψεις: Μέθοδοι & Τεχνικές



- Ορισμοί
- Ασυνήθιστες τιμές
- Αλλαγή επιπέδου
- Μέθοδοι Εντοπισμού
- Διαδικασία διόρθωσης
- Impact of identified SEA

Ορισμός

Special Event ή Special Action νοείται όταν υπάρχει διαφορά επιπέδου στα δεδομένα, βάση κάποιου αρχικού επιπέδου ή βάση του μέσου όρου των δεδομένων.

Κατηγοριοποιούνται σε:

- Ασυνήθιστες τιμές
- Αλλαγή επιπέδου

Αίτια Δημιουργίας



Προώθηση / διαφήμιση προϊόντων



Αύξηση / μείωση τιμών



Υποκατάστατο προϊόντων



Ανταγωνιστικό προϊόν



Ασυνήθιστες καιρικές συνθήκες



Απεργίες

Ενέργειες

Η συστηματική καταγραφή και κατηγοριοποίηση των αντίκτυπων των διαφόρων ειδών ειδικών γεγονότων και ενεργειών μπορεί να οδηγήσει σε ακριβέστερη πρόβλεψη, μέσω κατάλληλων **κριτικών παρεμβάσεων** επί των στατιστικών προβλέψεων. Οι κριτικές αυτές παρεμβάσεις βασίζονται συνήθως σε **αναλογίες παρελθόντων και επικείμενων ειδικών γεγονότων και ενεργειών**.

Για παράδειγμα, αν επιθυμούσαμε το επόμενο τρίμηνο να προχωρήσουμε σε μία διαφημιστική εκστρατεία γνωστού προϋπολογισμού, τότε θα μπορούσαμε να ανατρέξουμε σε παρελθούσες διαφημιστικές εκστρατείες του ίδιου ή παρεμφερών προϊόντων και αντίστοιχου προϋπολογισμού. Με τον τρόπο αυτό θα μπορούσαμε να εκτιμήσουμε το μελλοντικό αντίκτυπο της προσεχούς διαφημιστικής εκστρατείας και να τροποποιήσουμε κατάλληλα τις παραγόμενες στατιστικές προβλέψεις.

Μέθοδοι Εντοπισμού

Επισημάνσεις

D

Deseasonalized data

Αναφέρεται στο μονοδιάστατο πίνακα των **n αποεποχικοποιημένων** παρατηρήσεων, στη χρονοσειρά δηλαδή που προκύπτει από τα αρχικά ιστορικά δεδομένα, εφόσον αφαιρεθεί η εποχιακότητα μέσω της διαίρεσής της με τους αντίστοιχους εποχιακούς δείκτες

TxC

Trend-Cycle

Αναφέρεται στη χρονοσειρά που προέρχεται από τα αρχικά δεδομένα έπειτα από την αφαίρεση των συνιστωσών εποχιακότητας και τυχαιότητας, δηλαδή στη χρονοσειρά **τάση-κύκλου**

F

Forecast model

Αναφέρεται στη χρονοσειρά που υπολογίζεται από τις **στατιστικές μεθόδους πρόβλεψης** και περιορίζεται στις περιόδους στις οποίες υπάρχουν ταυτόχρονα προβλέψεις και πραγματικές παρατηρήσεις



Μέθοδοι Εντοπισμού

Επισημάνσεις

$KMO(k)^D$

*Moving Average of
Deseasonalized Data*

Αναφέρεται στον απλό κινητό μέσο όρο μήκους k περιόδων της αποεποχικοποιημένης χρονοσειράς

$KKMO(k)^D$

*Centered Moving Average of
Deseasonalized Data*

Αναφέρεται στον κεντρικό κινητό μέσο όρο μήκους k περιόδων της αποεποχικοποιημένης χρονοσειράς

t_a και t_b

Threshold A και *Threshold B*

Παράμετροι ευαισθησίας των μεθόδων εντοπισμού ειδικών γεγονότων και ενεργειών. Θετική τιμή των παραμέτρων αυτών συνεπάγεται αύξηση της ευαισθησίας των μεθόδων και αντίστροφα. Η προκαθορισμένη τιμή τους ισούται με μηδέν



Μέθοδοι Εντοπισμού

1^η μέθοδος

- Για κάθε παρατήρηση t της χρονοσειράς των δεδομένων υπολογίζονται οι εξής δύο λόγοι:

$$\text{Ratio1}_t = \frac{D_t}{T \times C_t} \quad \text{Ratio2}_t = \frac{D_t}{F_t}$$

Δεδομένου πως $t_a \leq 10$ και $t_b \leq 25$, η παρατήρηση t της χρονοσειράς των δεδομένων αποτελεί ασυνήθιστη τιμή όταν:

$$\left\{ \begin{array}{l} \text{Ratio1}_t \geq 1,1 - \frac{t_a}{100} \\ \text{ή} \\ \text{Ratio1}_t \leq 0,9 + \frac{t_a}{100} \end{array} \right\} \quad \text{και} \quad \left\{ \begin{array}{l} \text{Ratio2}_t \geq 1,25 - \frac{t_b}{100} \\ \text{ή} \\ \text{Ratio2}_t \leq 0,75 + \frac{t_b}{100} \end{array} \right\}$$

Μέθοδοι Εντοπισμού

2^η μέθοδος

Αρχικά, υπολογίζονται οι μέσες τιμές της αποεποχικοποιημένης χρονοσειράς και του μοντέλου πρόβλεψης:

$$\bar{D} = \frac{\sum_{i=1}^n D_i}{n} \quad \bar{F} = \frac{\sum_{i=1}^n F_i}{n}$$

Κατόπιν, υπολογίζεται η τυπική απόκλιση των τιμών του μοντέλου πρόβλεψης από τη μέση τιμή τους:

$$StD_F = \sqrt{\frac{\sum_{i=1}^n (F_i - \bar{F})^2}{n}}$$

Δεδομένου πως $t_a \leq 3$, η παρατήρηση t της χρονοσειράς των δεδομένων αποτελεί ασυνήθιστη τιμή όταν:

$$\begin{cases} D_t \geq \bar{D} + (3 - t_a) \cdot StD_F \\ \text{ή} \\ D_t \leq \bar{D} - (3 - t_a) \cdot StD_F \end{cases}$$

Μέθοδοι Εντοπισμού

3^η μέθοδος

Για κάθε παρατήρηση t της χρονοσειράς των δεδομένων υπολογίζεται ο ακόλουθος λόγος:

$$\text{Ratio}_t = \frac{\text{KMO}(7)_t^D}{\text{KMO}(5)_t^D}$$

Δεδομένου πως $t_a \leq 5$, η παρατήρηση t της χρονοσειράς των δεδομένων αποτελεί ασυνήθιστη τιμή όταν:

$$\left\{ \begin{array}{l} \text{Ratio}_t \geq 1,05 - \frac{t_a}{100} \\ \text{ή} \\ \text{Ratio}_t \leq 0,95 + \frac{t_a}{100} \end{array} \right\}$$

Μέθοδοι Εντοπισμού

4^η μέθοδος

Για κάθε παρατήρηση t της χρονοσειράς των δεδομένων υπολογίζεται ο ακόλουθος λόγος:

$$\text{Ratio}_t = \frac{D_t}{\text{KKMO}(k)_t^D}$$

Η παράμετρος k επιλέγεται έτσι ώστε να ισούται με τον αριθμό των περιόδων της χρονοσειράς ανά ημερολογιακό έτος, δηλαδή με τη συχνότητα των δεδομένων. Για παράδειγμα, αν πρόκειται για χρονοσειρά μηνιαίων παρατηρήσεων, τότε επιλέγεται $k=12$. Δεδομένου πως $t_a \leq 10$, η παρατήρηση t της χρονοσειράς των δεδομένων αποτελεί ασυνήθιστη τιμή όταν:

$$\left\{ \begin{array}{l} \text{Ratio}_t \geq 1,1 - \frac{t_a}{100} \\ \text{ή} \\ \text{Ratio}_t \leq 0,9 + \frac{t_a}{100} \end{array} \right\}$$

Μέθοδοι Εντοπισμού

Παρατηρήσεις

- Σημειώνεται πως, λόγω των περιορισμών στους υπολογισμούς των κινητών μέσων όρων αναφορικά με τα άκρα των χρονοσειρών, οι μέθοδοι εντοπισμού 3 και 4 δεν μπορούν να εφαρμοστούν στο σύνολο των *n* παρατηρήσεων, εκτός και αν γίνει συμπλήρωση των κενών άκρων με χρήση της τεχνικής *back casting*.
- Κάθε μία από τις τέσσερις μεθόδους εντοπισμού ειδικών γεγονότων και

ενεργειών ελέγχει ξεχωριστά και ανεξάρτητα κάθε παρατήρηση και ουσιαστικά απαντάει στο ερώτημα, αν μία παρατήρηση είναι ασυνήθιστη τιμή ή όχι. Η εφαρμογή μιας μεθόδου στο σύνολο των διαθέσιμων δεδομένων ακολουθείται από ομαδοποίηση γειτονικών περιόδων, οι οποίες έχουν χαρακτηριστεί ως ασυνήθιστες, προς το σχηματισμό χρονικών περιόδων, που ουσιαστικά αποτελούν τα αναγνωρισμένα ειδικά γεγονότα.

Μέθοδοι Εντοπισμού

Παρατηρήσεις

- Η επαλήθευση από πλευράς αναλυτή-ερευνητή μιας ομάδας αναγνωρισμένων χρονικών περιόδων ως ειδικό γεγονός επιτυγχάνεται με **συνδυασμό απεικόνισης** των δεδομένων και **αξιοποίησης πιθανής διαθέσιμης πληροφορίας** προερχόμενης από το εσωτερικό ή εξωτερικό περιβάλλον της επιχείρησης.
- Ο εντοπισμός και η επαλήθευση των ειδικών γεγονότων και ενεργειών ακολουθούνται από τον **υπολογισμό της εξομαλυμένης χρονοσειράς**, αλλά και του υπολογισμού του **αντίκτυπου** των γεγονότων αυτών (επίδραση επί τις εκατό στις τιμές των παρατηρήσεων της χρονοσειράς) σε κάθε χρονική περίοδο ξεχωριστά.
- Η εξομαλυμένη αποεποχικοποιημένη χρονοσειρά θα χρησιμοποιηθεί στη συνέχεια για τον υπολογισμό της στατιστικής πρόβλεψης, ενώ οι υπολογισμένοι αντίκτυποι θα αποθηκευτούν σε κατάλληλη βάση δεδομένων για μελλοντική χρήση στο στάδιο της κριτικής πρόβλεψης μέσω αναλογιών.

Υπολογισμός εξομαλυμένης σειράς

Ανάλογα με τη φύση των δεδομένων, διακρίνουμε δύο μεθόδους υπολογισμού της εξομαλυμένης από τα ειδικά γεγονότα και ενέργειες χρονοσειράς.

- Για δεδομένα σταθερού επιπέδου (απουσία τάσης), η εξομάλυνση των τιμών γίνεται με βάση την τιμή των αμέσως προηγούμενων τιμών του ειδικού γεγονότος.

$$D'_t = D_{t_0}$$

- Για δεδομένα με έντονη τη συνιστώσα της τάσης, εφαρμόζεται γραμμική παρεμβολή βάσει της αμέσως προηγούμενης και επόμενης περιόδου του αναγνωρισμένου ειδικού γεγονότος.

$$D'_t = (t - t_0) \cdot \frac{D_{t_0+n+1} - D_{t_0}}{n + 1} + D_{t_0}$$

Υπολογισμός αντίκτυπου

Ο αντίκτυπος (εκφρασμένος επί τις εκατό) κάθε χρονικής περιόδου που έχει ανιχνευθεί ως ειδικό γεγονός, υπολογίζεται ως το πηλίκο της διαφοράς της αρχικής και της εξομαλυμένης τιμής προς την εξομαλυμένη τιμή, ως εξής:

$$\text{Impact}_t = \frac{D_t - D'_t}{D'_t} \cdot 100 \ (\%)$$

Δεδομένα

| PERIOD | YEAR | DATA |
|--------|------|--------|
| 1 | 1999 | 324,25 |
| 2 | 1999 | 396,82 |
| 3 | 1999 | 289,42 |
| 4 | 1999 | 307,17 |
| 1 | 2000 | 379,36 |
| 2 | 2000 | 424,1 |
| 3 | 2000 | 323,36 |
| 4 | 2000 | 328,91 |
| 1 | 2001 | 367,38 |
| 2 | 2001 | 600,29 |
| 3 | 2001 | 473,4 |
| 4 | 2001 | 483,13 |
| 1 | 2002 | 548,5 |
| 2 | 2002 | 456,72 |
| 3 | 2002 | 391,18 |
| 4 | 2002 | 386,09 |
| 1 | 2003 | 426,02 |
| 2 | 2003 | 523,13 |

| PERIOD | YEAR | DATA |
|--------|------|--------|
| 3 | 2003 | 370,5 |
| 4 | 2003 | 368,3 |
| 1 | 2004 | 433,78 |
| 2 | 2004 | 480,79 |
| 3 | 2004 | 365,72 |
| 4 | 2004 | 227,87 |
| 1 | 2005 | 307,47 |
| 2 | 2005 | 292,07 |
| 3 | 2005 | 443,09 |
| 4 | 2005 | 427,04 |
| 1 | 2006 | 484,69 |
| 2 | 2006 | 577,09 |
| 3 | 2006 | 424,36 |
| 4 | 2006 | 458,45 |
| 1 | 2007 | 478,35 |
| 2 | 2007 | 535,68 |
| 3 | 2007 | 461,52 |
| 4 | 2007 | 413,23 |

Δεδομένα

DATA



KKMO(4)

| | DATA | KKMO |
|--------|--------|--------|
| 1/1999 | 324,25 | |
| 2/1999 | 396,82 | |
| 3/1999 | 289,42 | 336,30 |
| 4/1999 | 307,17 | 346,60 |
| 1/2000 | 379,36 | 354,26 |
| 2/2000 | 424,1 | 361,22 |
| 3/2000 | 323,36 | 362,44 |
| 4/2000 | 328,91 | 382,96 |
| 1/2001 | 367,38 | 423,74 |
| 2/2001 | 600,29 | 461,77 |
| 3/2001 | 473,4 | 503,69 |
| 4/2001 | 483,13 | 508,38 |
| 1/2002 | 548,5 | 480,16 |
| 2/2002 | 456,72 | 457,75 |
| 3/2002 | 391,18 | 377,06 |
| 4/2002 | 386,09 | 251,41 |

$$KMO(4)_{2,5} = \frac{X_1 + X_2 + X_3 + X_4}{4}$$

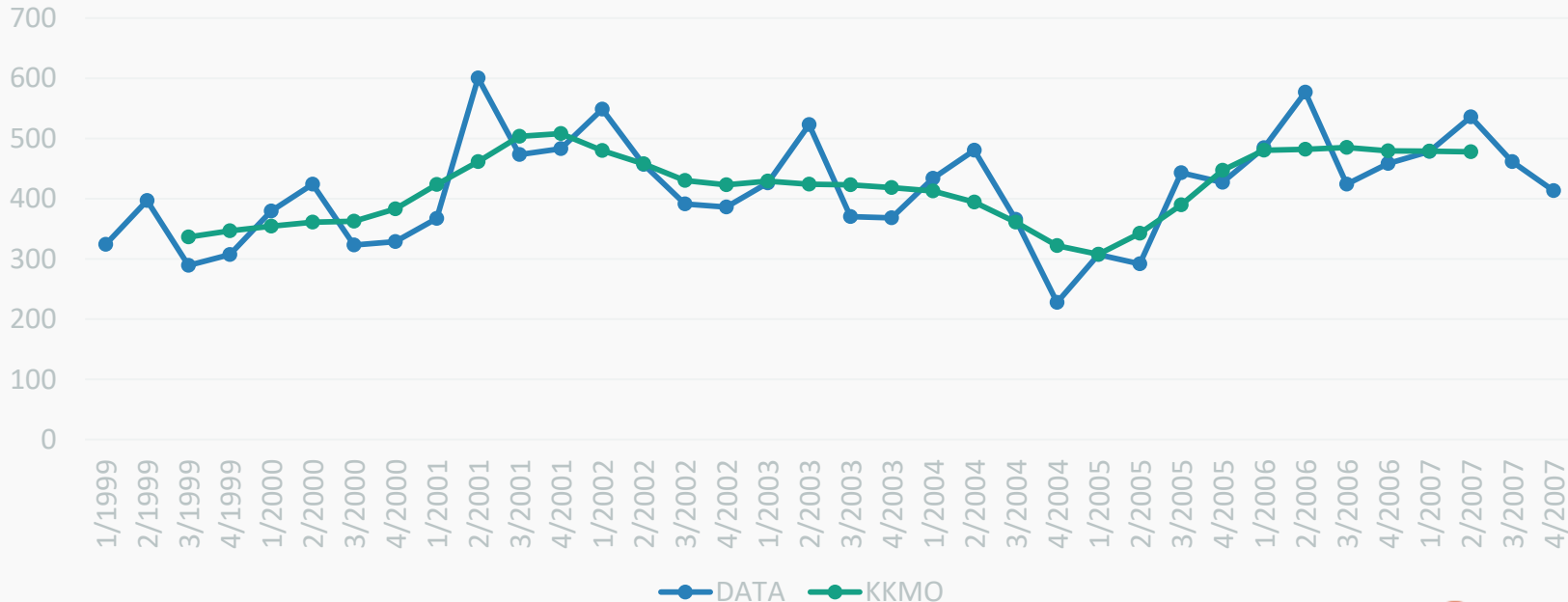
$$KMO(4)_{3,5} = \frac{X_2 + X_3 + X_4 + X_5}{4}$$

$$KKMO(4)_3 = \frac{KMO(4)_{2,5} + KMO(4)_{3,5}}{2}$$

Η χρονοσειρά αυτή χρειάζεται:

- Για τη συνέχεια της διαδικασίας της αποσύνθεσης
- Για την εφαρμογή της 4^{ης} Μεθόδου εντοπισμού SEA

Δεδομένα & KIMO(4)



Λόγοι Εποχιακότητας

| | DATA | KKMO | ΛΕ |
|--------|--------|--------|--------|
| 1/1999 | 324,25 | | |
| 2/1999 | 396,82 | | |
| 3/1999 | 289,42 | 336,30 | 86,06 |
| 4/1999 | 307,17 | 346,60 | 88,62 |
| 1/2000 | 379,36 | 354,26 | 107,09 |
| 2/2000 | 424,1 | 361,22 | 117,41 |
| 3/2000 | 323,36 | 362,44 | 89,22 |
| 4/2000 | 328,91 | 382,96 | 85,89 |
| 1/2001 | 367,38 | 423,74 | 86,70 |
| 2/2001 | 600,29 | 461,77 | 130,00 |
| 3/2001 | 473,4 | 503,69 | 93,99 |
| 4/2001 | 483,13 | 508,38 | 95,03 |
| 1/2002 | 548,5 | 480,16 | 114,23 |
| 2/2002 | 456,72 | 457,75 | 99,77 |
| 3/2002 | 391,18 | 377,06 | 90,91 |
| 4/2002 | 386,09 | 251,41 | 91,21 |

$$\Lambda.E._i = \frac{DATA_i}{KKMO(4)_i}$$

Οι Λ.Ε. χρειάζονται προκειμένου να υπολογιστούν οι δείκτες εποχιακότητας και η αποεποχικοποθημένη χρονοσειρά

Δείκτες Εποχιακότητας

| | 1999 | 2000 | 2001 | 2002 | 2003 | 2004 | 2005 | 2006 | 2007 |
|---|-------|--------|--------|--------|--------|--------|--------|--------|--------|
| 1 | | 107,09 | 86,70 | 114,23 | 99,30 | 105,10 | 99,84 | 100,84 | 99,89 |
| 2 | | 117,41 | 130,00 | 99,77 | 123,32 | 121,84 | 85,27 | 119,67 | 112,10 |
| 3 | 86,06 | 89,22 | 93,99 | 90,91 | 87,60 | 101,24 | 113,74 | 87,43 | |
| 4 | 88,62 | 85,89 | 95,03 | 91,21 | 87,98 | 70,80 | 95,46 | 95,63 | |

| MIN | MAX | AVERAGE |
|-------|--------|-----------|
| 86,70 | 114,23 | 102,01 |
| 85,27 | 130,00 | 115,69 |
| 86,06 | 113,74 | 91,73 |
| 70,80 | 95,63 | 90,70 |
| | | 400,13 |
| ΣΚ | | 1,0003134 |

| Δ.Ε. |
|--------|
| 101,98 |
| 115,65 |
| 91,70 |
| 90,67 |
| 400,00 |



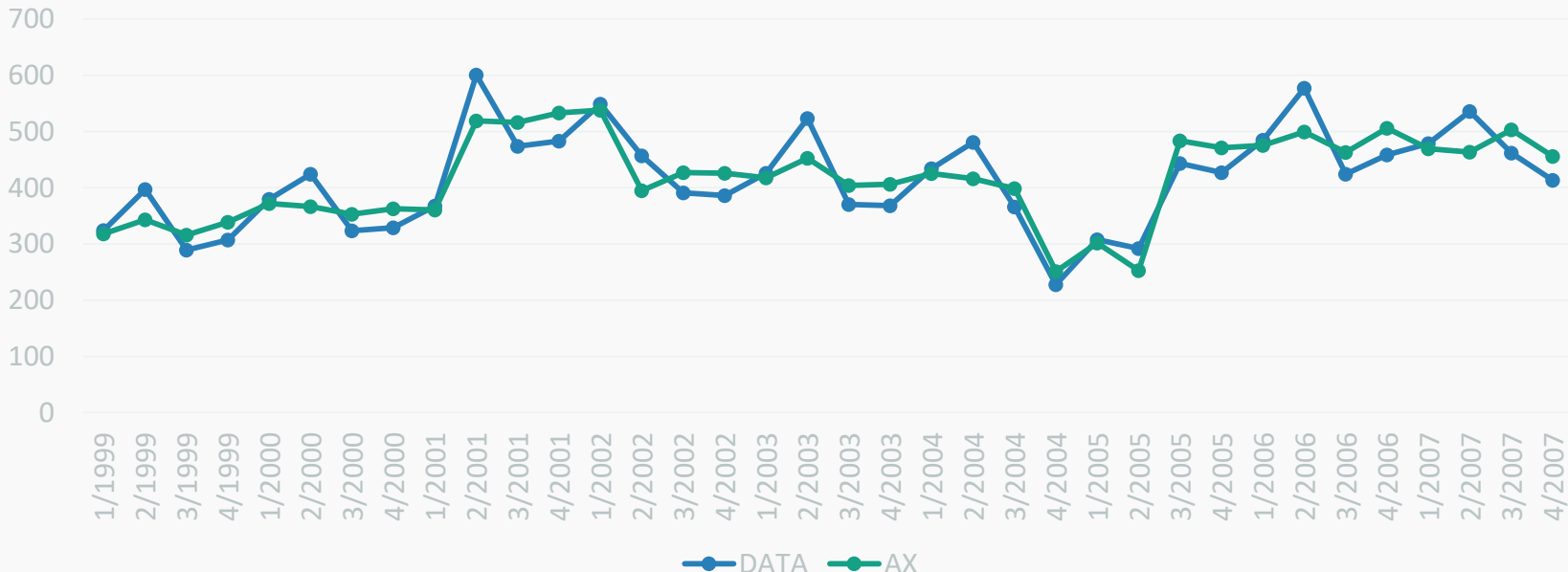
Αποεποχικοποιημένη Χρονοσειρά

| | DATA | ΔΕ | ΑΧ |
|--------|--------|--------|--------|
| 1/1999 | 324,25 | 101,98 | 317,96 |
| 2/1999 | 396,82 | 115,65 | 343,12 |
| 3/1999 | 289,42 | 91,70 | 315,61 |
| 4/1999 | 307,17 | 90,67 | 338,78 |
| 1/2000 | 379,36 | 101,98 | 372,00 |
| 2/2000 | 424,1 | 115,65 | 366,71 |
| 3/2000 | 323,36 | 91,70 | 352,62 |
| 4/2000 | 328,91 | 90,67 | 362,76 |
| 1/2001 | 367,38 | 101,98 | 360,25 |
| 2/2001 | 600,29 | 115,65 | 519,05 |
| 3/2001 | 473,4 | 91,70 | 516,24 |
| 4/2001 | 483,13 | 90,67 | 532,85 |
| 1/2002 | 548,5 | 101,98 | 537,86 |
| 2/2002 | 456,72 | 115,65 | 394,91 |
| 3/2002 | 391,18 | 91,70 | 426,58 |
| 4/2002 | 386,09 | 90,67 | 425,82 |

$$A.X._i = \frac{DATA_i}{\Delta.E._i} \cdot 100$$

Η αποεποχικοποιημένη χρονοσειρά χρειάζεται προκειμένου να υπολογίσουμε τους ζητούμενους λόγους για τις μεθόδους 1, 2 και 4 αναγνώρισης των SEA

Δεδομένα & Α.Χ.



TxC Αποεποχικοποιημένης Χρονοσειράς

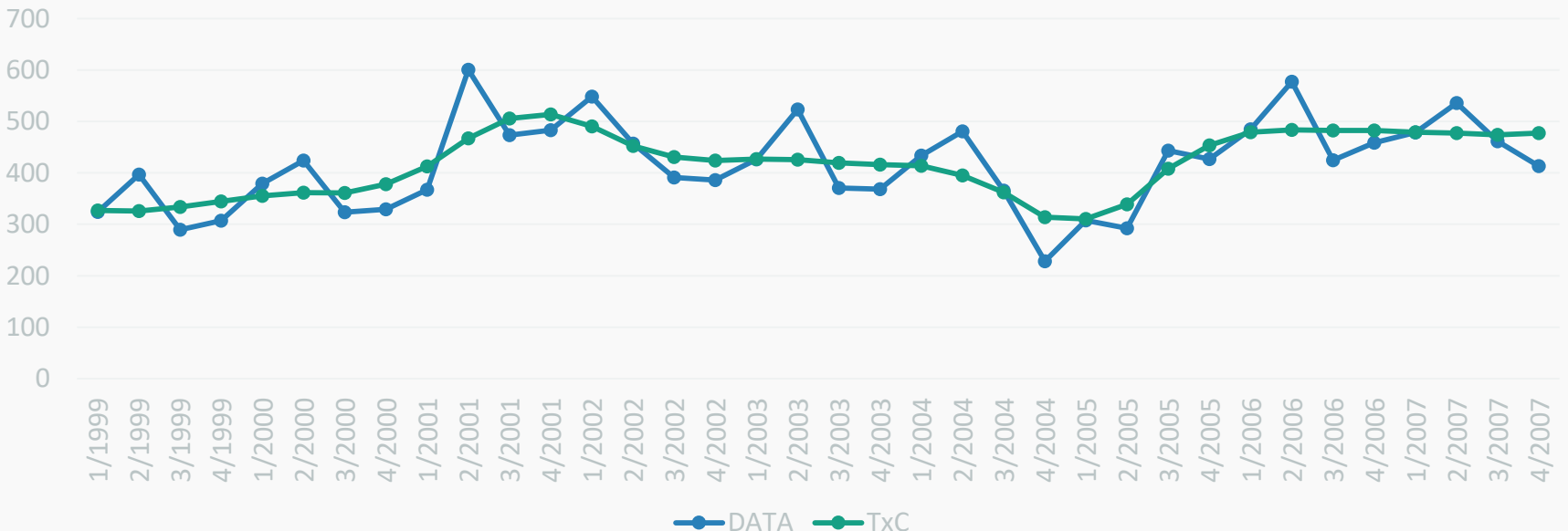
| | AX | KMO(3) | KMO(3x3)=TxC |
|--------|--------|--------|--------------|
| 1/1999 | 317,96 | | 327,07 |
| 2/1999 | 343,12 | 325,56 | 325,56 |
| 3/1999 | 315,61 | 332,50 | 333,40 |
| 4/1999 | 338,78 | 342,13 | 344,60 |
| 1/2000 | 372,00 | 359,16 | 355,02 |
| 2/2000 | 366,71 | 363,78 | 361,21 |
| 3/2000 | 352,62 | 360,70 | 361,01 |
| 4/2000 | 362,76 | 358,54 | 377,75 |
| 1/2001 | 360,25 | 414,02 | 412,58 |
| 2/2001 | 519,05 | 465,18 | 467,31 |
| 3/2001 | 516,24 | 522,71 | 505,63 |
| 4/2001 | 532,85 | 528,98 | 513,41 |
| 1/2002 | 537,86 | 488,54 | 490,21 |
| 2/2002 | 394,91 | 453,12 | 452,48 |
| 3/2002 | 426,58 | 415,77 | 384,34 |
| 4/2002 | 425,82 | 284,13 | 280,62 |

$$KMO(3)_i = \frac{AX_{i-1} + AX_i + AX_{i+1}}{3}$$

$$KMO(3x3)_i = \frac{KMO(3)_{i-1} + KMO(3)_i + KMO(3)_{i+1}}{3}$$

Η σειρά Τάσης-Κύκλου χρησιμεύει στον υπολογισμό της σειράς Forecast Model καθώς και στον υπολογισμό ενός λόγου για την 1^η μέθοδο εντοπισμού SEA

Δεδομένα & Τάση-Κύκλος AX



| AA | KMO(3X3)=TxC | X*Y | X*X | TREND |
|---------|--------------|----------|---------|----------|
| 1 | 327,07 | 327,07 | 1 | 368,31 |
| 2 | 325,56 | 651,13 | 4 | 371,07 |
| 3 | 333,40 | 1000,20 | 9 | 373,83 |
| 4 | 344,60 | 1378,40 | 16 | 376,59 |
| 5 | 355,02 | 1775,12 | 25 | 379,35 |
| 6 | 361,21 | 2167,27 | 36 | 382,11 |
| 7 | 361,01 | 2527,04 | 49 | 384,87 |
| 8 | 377,75 | 3022,03 | 64 | 387,63 |
| 9 | 412,58 | 3713,24 | 81 | 390,39 |
| 10 | 467,31 | 4673,06 | 100 | 393,15 |
| 11 | 505,63 | 5561,89 | 121 | 395,91 |
| 12 | 513,41 | 6160,94 | 144 | 398,67 |
| 13 | 490,21 | 6372,77 | 169 | 401,43 |
| 14 | 452,48 | 6334,66 | 196 | 404,19 |
| 15 | 430,76 | 6461,37 | 225 | 406,95 |
| 16 | 423,71 | 6779,35 | 256 | 409,71 |
| 17 | 426,69 | 7253,69 | 289 | 412,47 |
| 18 | 425,84 | 7665,19 | 324 | 415,23 |
| 19 | 419,14 | 7963,70 | 361 | 417,99 |
| 20 | 416,16 | 8323,22 | 400 | 420,75 |
| 21 | 413,64 | 8686,51 | 441 | 423,51 |
| 22 | 394,78 | 8685,25 | 484 | 426,27 |
| 23 | 361,93 | 8324,49 | 529 | 429,03 |
| 24 | 313,65 | 7527,66 | 576 | 431,79 |
| 25 | 310,47 | 7761,80 | 625 | 434,55 |
| 26 | 338,81 | 8809,16 | 676 | 437,31 |
| 27 | 408,16 | 11020,25 | 729 | 440,07 |
| 28 | 453,49 | 12697,83 | 784 | 442,83 |
| 29 | 479,09 | 13893,47 | 841 | 445,59 |
| 30 | 483,30 | 14498,97 | 900 | 448,35 |
| 31 | 482,43 | 14955,40 | 961 | 451,11 |
| 32 | 482,53 | 15440,82 | 1024 | 453,87 |
| 33 | 478,99 | 15806,58 | 1089 | 456,63 |
| 34 | 477,30 | 16228,03 | 1156 | 459,39 |
| 35 | 474,08 | 16592,68 | 1225 | 462,15 |
| 36 | 477,30 | 17182,88 | 1296 | 464,91 |
| Average | 18,5 | 416,65 | 8006,20 | 450,1667 |

Σειρά Τάσης

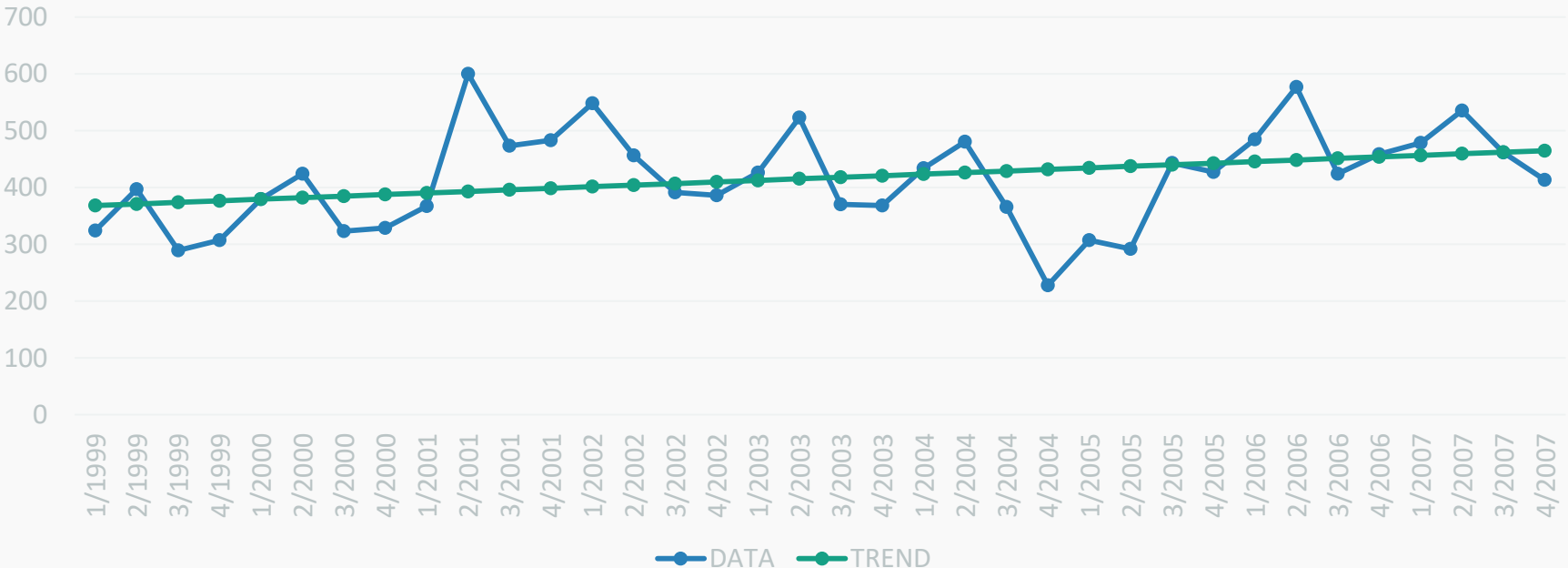
$$\beta = \frac{\sum_{n=1}^N X \cdot Y - \bar{X} \cdot \bar{Y}}{\sum_{n=1}^N X^2 - \bar{X}^2}$$

$$a = \bar{Y} - \beta \cdot \bar{X}$$

$$TREND = \alpha + \beta \cdot X = 365.55 + 2.76 \cdot X$$

Η σειρά αυτή χρησιμεύει για τον υπολογισμό του μοντέλου πρόβλεψης

Δεδομένα & Τάση



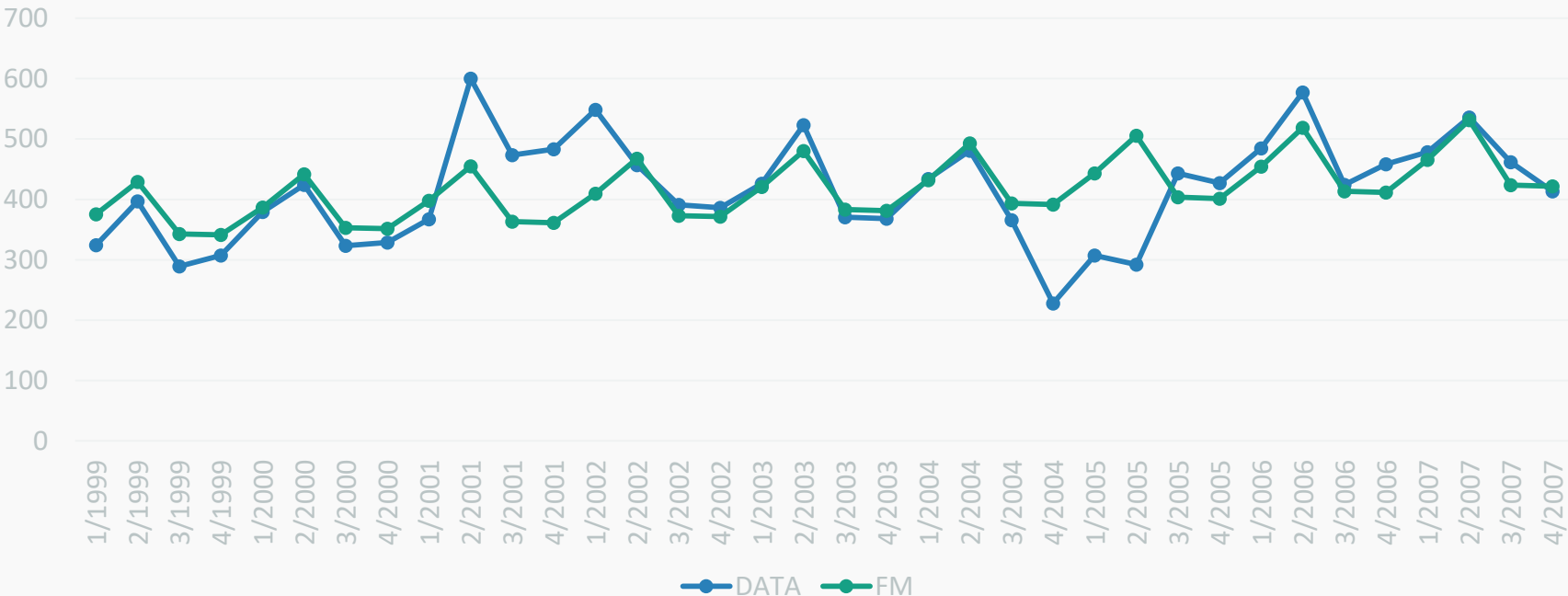
Μοντέλο Πρόβλεψης

| | ΔΕ | TREND | FM |
|--------|--------|--------|--------|
| 1/1999 | 101,98 | 368,31 | 375,60 |
| 2/1999 | 115,65 | 371,07 | 429,15 |
| 3/1999 | 91,70 | 373,83 | 342,81 |
| 4/1999 | 90,67 | 376,59 | 341,45 |
| 1/2000 | 101,98 | 379,35 | 386,86 |
| 2/2000 | 115,65 | 382,11 | 441,91 |
| 3/2000 | 91,70 | 384,87 | 352,93 |
| 4/2000 | 90,67 | 387,63 | 351,46 |
| 1/2001 | 101,98 | 390,39 | 398,12 |
| 2/2001 | 115,65 | 393,15 | 454,68 |
| 3/2001 | 91,70 | 395,91 | 363,05 |
| 4/2001 | 90,67 | 398,67 | 361,47 |
| 1/2002 | 101,98 | 401,43 | 409,37 |
| 2/2002 | 115,65 | 404,19 | 467,45 |
| 3/2002 | 91,70 | 406,95 | 373,18 |
| 4/2002 | 90,67 | 409,71 | 371,48 |

$$FM_i = \frac{TREND_i \cdot \Delta.E_i}{100}$$

Το μοντέλο της πρόβλεψης χρησιμοποιείται αφενός για τον υπολογισμό του ενός λόγου στην 1^η Μέθοδο εντοπισμού SEA, και αφετέρου στον υπολογισμό του Standard Deviation που χρειάζεται για τη 2^η Μέθοδο.

Δεδομένα & Μοντέλο Πρόβλεψης



StD(FM)

| FM | (FM-Mean(FM))^2 |
|--------|-----------------|
| 375,60 | 1665,59 |
| 429,15 | 162,20 |
| 342,81 | 5417,54 |
| 341,45 | 5618,71 |
| 386,86 | 873,39 |
| 441,91 | 650,43 |
| 352,93 | 4029,73 |
| 351,46 | 4218,27 |
| 398,12 | 334,70 |
| 454,68 | 1464,69 |
| 363,05 | 2846,90 |
| 361,47 | 3018,21 |
| 409,37 | 49,51 |
| 467,45 | 2605,00 |
| 373,18 | 1869,05 |
| 371,48 | 2018,56 |

$$StD(FM) = \sqrt{\frac{(FM_i - \bar{FM})^2}{n}} = 49.21$$

Ο δείκτης της τυπικής απόκλισης χρειάζεται στη 2^η Μέθοδο εντοπισμού SEA

KMO(5) & KMO(7)

| | DATA | AX | KMO(5) | KMO(7) |
|--------|--------|--------|--------|--------|
| 1/1999 | 324,25 | 317,96 | | |
| 2/1999 | 396,82 | 343,12 | | |
| 3/1999 | 289,42 | 315,61 | 337,49 | |
| 4/1999 | 307,17 | 338,78 | 347,24 | 343,83 |
| 1/2000 | 379,36 | 372,00 | 349,14 | 350,23 |
| 2/2000 | 424,10 | 366,71 | 358,57 | 352,68 |
| 3/2000 | 323,36 | 352,62 | 362,87 | 381,74 |
| 4/2000 | 328,91 | 362,76 | 392,28 | 407,09 |
| 1/2001 | 367,38 | 360,25 | 422,19 | 430,07 |
| 2/2001 | 600,29 | 519,05 | 458,23 | 454,52 |
| 3/2001 | 473,40 | 516,24 | 493,25 | 460,56 |
| 4/2001 | 483,13 | 532,85 | 500,18 | 469,68 |
| 1/2002 | 548,50 | 537,86 | 481,69 | 479,05 |
| 2/2002 | 456,72 | 394,91 | 463,60 | 464,57 |
| 3/2002 | 391,18 | 426,58 | 440,59 | 455,44 |
| 4/2002 | 386,09 | 425,82 | 423,48 | 437,04 |

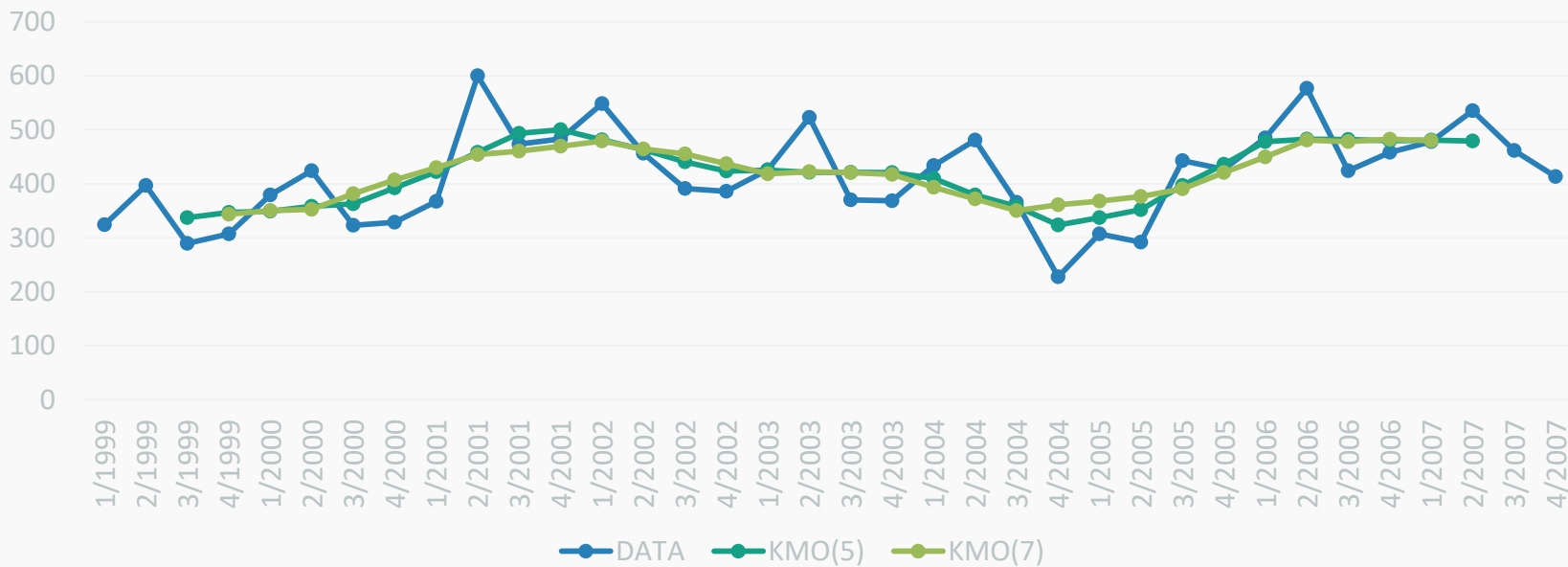
$$KMO(5)_i = \frac{AX_{i-2} + AX_{i-1} + AX_i + AX_{i+1} + AX_{i+2}}{5}$$

$$KMO(7)_i = \frac{AX_{i-3} + AX_{i-2} + AX_{i-1} + AX_i + AX_{i+1} + AX_{i+2} + AX_{i+3}}{7}$$

Η σειρές των κινητών μέσων όρων 5 και 7 χρειάζονται για την 3^η Μέθοδο υπολογισμού των SEA

Δεδομένα & KMO(5) - KMO(7)

—



| AX | TxC | FM | 1ST METHOD | | | |
|--------|--------|--------|------------|--------|---------|-----|
| | | | Ratio1 | Ratio2 | is SEA? | |
| 317,96 | 327,07 | 375,60 | 0,972 | NO | 0,847 | NO |
| 343,12 | 325,56 | 429,15 | 1,054 | NO | 0,800 | NO |
| 315,61 | 333,40 | 342,81 | 0,947 | NO | 0,921 | NO |
| 338,78 | 344,60 | 341,45 | 0,983 | NO | 0,992 | NO |
| 372,00 | 355,02 | 386,86 | 1,048 | NO | 0,962 | NO |
| 366,71 | 361,21 | 441,91 | 1,015 | NO | 0,830 | NO |
| 352,62 | 361,01 | 352,93 | 0,977 | NO | 0,999 | NO |
| 362,76 | 377,75 | 351,46 | 0,960 | NO | 1,032 | NO |
| 360,25 | 412,58 | 398,12 | 0,873 | YES | 0,905 | NO |
| 519,05 | 467,31 | 454,68 | 1,111 | YES | 1,142 | NO |
| 516,24 | 505,63 | 363,05 | 1,021 | NO | 1,422 | YES |
| 532,85 | 513,41 | 361,47 | 1,038 | NO | 1,474 | YES |
| 537,86 | 490,21 | 409,37 | 1,097 | NO | 1,314 | YES |
| 394,91 | 452,48 | 467,45 | 0,873 | YES | 0,845 | NO |
| 426,58 | 430,76 | 373,18 | 0,990 | NO | 1,143 | NO |
| 425,82 | 423,71 | 371,48 | 1,005 | NO | 1,146 | NO |
| 417,75 | 426,69 | 420,63 | 0,979 | NO | 0,993 | NO |
| 452,34 | 425,84 | 480,22 | 1,062 | NO | 0,942 | NO |
| 404,03 | 419,14 | 383,30 | 0,964 | NO | 1,054 | NO |
| 406,20 | 416,16 | 381,49 | 0,976 | NO | 1,065 | NO |
| 425,36 | 413,64 | 431,89 | 1,028 | NO | 0,985 | NO |
| 415,73 | 394,78 | 492,98 | 1,053 | NO | 0,843 | NO |
| 398,82 | 361,93 | 393,43 | 1,102 | YES | 1,014 | NO |
| 251,32 | 313,65 | 391,50 | 0,801 | YES | 0,642 | YES |
| 301,50 | 310,47 | 443,15 | 0,971 | NO | 0,680 | YES |
| 252,54 | 338,81 | 505,75 | 0,745 | YES | 0,499 | YES |
| 483,19 | 408,16 | 403,55 | 1,184 | YES | 1,197 | NO |
| 470,99 | 453,49 | 401,51 | 1,039 | NO | 1,173 | NO |
| 475,28 | 479,09 | 454,41 | 0,992 | NO | 1,046 | NO |
| 498,99 | 483,30 | 518,52 | 1,032 | NO | 0,962 | NO |
| 462,76 | 482,43 | 413,67 | 0,959 | NO | 1,119 | NO |
| 505,63 | 482,53 | 411,52 | 1,048 | NO | 1,229 | NO |
| 469,07 | 478,99 | 465,67 | 0,979 | NO | 1,007 | NO |
| 463,19 | 477,30 | 531,29 | 0,970 | NO | 0,872 | NO |
| 503,29 | 474,08 | 423,80 | 1,062 | NO | 1,188 | NO |
| 455,75 | 477,30 | 421,53 | 0,955 | NO | 1,081 | NO |

1η Μέθοδος Υπολογισμού SEA

$$\text{Ratio1}_t = \frac{D_t}{T \times C_t}$$

$$\text{Ratio2}_t = \frac{D_t}{F_t}$$

$$\left\{ \begin{array}{l} \text{Ratio1}_t \geq 1,1 - \frac{t_a}{100} \\ \text{ή} \\ \text{Ratio1}_t \leq 0,9 + \frac{t_a}{100} \end{array} \right\} \text{ και }$$

$$\left\{ \begin{array}{l} \text{Ratio2}_t \geq 1,25 - \frac{t_b}{100} \\ \text{ή} \\ \text{Ratio2}_t \leq 0,75 + \frac{t_b}{100} \end{array} \right\}$$

Thresholda=Thresholdb=0

| AX | TxC | FM | 1ST METHOD | | | |
|--------|--------|--------|------------|--------|---------|-----|
| | | | Ratio1 | Ratio2 | is SEA? | |
| 317,96 | 327,07 | 375,60 | 0,972 | NO | 0,847 | NO |
| 343,12 | 325,56 | 429,15 | 1,054 | YES | 0,800 | YES |
| 315,61 | 333,40 | 342,81 | 0,947 | YES | 0,921 | NO |
| 338,78 | 344,60 | 341,45 | 0,983 | NO | 0,992 | NO |
| 372,00 | 355,02 | 386,86 | 1,048 | NO | 0,962 | NO |
| 366,71 | 361,21 | 441,91 | 1,015 | NO | 0,830 | NO |
| 352,62 | 361,01 | 352,93 | 0,977 | NO | 0,999 | NO |
| 362,76 | 377,75 | 351,46 | 0,960 | NO | 1,032 | NO |
| 360,25 | 412,58 | 398,12 | 0,873 | YES | 0,905 | NO |
| 519,05 | 467,31 | 454,68 | 1,111 | YES | 1,142 | NO |
| 516,24 | 505,63 | 363,05 | 1,021 | NO | 1,422 | YES |
| 532,85 | 513,41 | 361,47 | 1,038 | NO | 1,474 | YES |
| 537,86 | 490,21 | 409,37 | 1,097 | YES | 1,314 | YES |
| 394,91 | 452,48 | 467,45 | 0,873 | YES | 0,845 | NO |
| 426,58 | 430,76 | 373,18 | 0,990 | NO | 1,143 | NO |
| 425,82 | 423,71 | 371,48 | 1,005 | NO | 1,146 | NO |
| 417,75 | 426,69 | 420,63 | 0,979 | NO | 0,993 | NO |
| 452,34 | 425,84 | 480,22 | 1,062 | YES | 0,942 | NO |
| 404,03 | 419,14 | 383,30 | 0,964 | NO | 1,054 | NO |
| 406,20 | 416,16 | 381,49 | 0,976 | NO | 1,065 | NO |
| 425,36 | 413,64 | 431,89 | 1,028 | NO | 0,985 | NO |
| 415,73 | 394,78 | 492,98 | 1,053 | YES | 0,843 | NO |
| 398,82 | 361,93 | 393,43 | 1,102 | YES | 1,014 | NO |
| 251,32 | 313,65 | 391,50 | 0,801 | YES | 0,642 | YES |
| 301,50 | 310,47 | 443,15 | 0,971 | NO | 0,680 | YES |
| 252,54 | 338,81 | 505,75 | 0,745 | YES | 0,499 | YES |
| 483,19 | 408,16 | 403,55 | 1,184 | YES | 1,197 | NO |
| 470,99 | 453,49 | 401,51 | 1,039 | NO | 1,173 | NO |
| 475,28 | 479,09 | 454,41 | 0,992 | NO | 1,046 | NO |
| 498,99 | 483,30 | 518,52 | 1,032 | NO | 0,962 | NO |
| 462,76 | 482,43 | 413,67 | 0,959 | NO | 1,119 | NO |
| 505,63 | 482,53 | 411,52 | 1,048 | NO | 1,229 | YES |
| 469,07 | 478,99 | 465,67 | 0,979 | NO | 1,007 | NO |
| 463,19 | 477,30 | 531,29 | 0,970 | NO | 0,872 | NO |
| 503,29 | 474,08 | 423,80 | 1,062 | YES | 1,188 | NO |
| 455,75 | 477,30 | 421,53 | 0,955 | NO | 1,081 | NO |

1η Μέθοδος Υπολογισμού SEA

$$\text{Ratio1}_t = \frac{D_t}{T \times C_t}$$

$$\text{Ratio2}_t = \frac{D_t}{F_t}$$

$$\left\{ \begin{array}{l} \text{Ratio1}_t \geq 1,1 - \frac{t_a}{100} \\ \text{ή} \\ \text{Ratio1}_t \leq 0,9 + \frac{t_a}{100} \end{array} \right\} \text{ και }$$

$$\left\{ \begin{array}{l} \text{Ratio2}_t \geq 1,25 - \frac{t_b}{100} \\ \text{ή} \\ \text{Ratio2}_t \leq 0,75 + \frac{t_b}{100} \end{array} \right\}$$

$$\text{Threshold}_a = \text{Threshold}_b = 5$$

Αύξηση ευαισθησίας και
εντοπισμός περισσότερων
πιθανών SEA



| 2ND METHOD | | | |
|------------|--------|--------|---------|
| AX | UL | LL | is SEA? |
| 317,96 | 534,68 | 298,48 | NO |
| 343,12 | 534,68 | 298,48 | NO |
| 315,61 | 534,68 | 298,48 | NO |
| 338,78 | 534,68 | 298,48 | NO |
| 372,00 | 534,68 | 298,48 | NO |
| 366,71 | 534,68 | 298,48 | NO |
| 352,62 | 534,68 | 298,48 | NO |
| 362,76 | 534,68 | 298,48 | NO |
| 360,25 | 534,68 | 298,48 | NO |
| 519,05 | 534,68 | 298,48 | NO |
| 516,24 | 534,68 | 298,48 | NO |
| 532,85 | 534,68 | 298,48 | NO |
| 537,86 | 534,68 | 298,48 | YES |
| 394,91 | 534,68 | 298,48 | NO |
| 426,58 | 534,68 | 298,48 | NO |
| 425,82 | 534,68 | 298,48 | NO |
| 417,75 | 534,68 | 298,48 | NO |
| 452,34 | 534,68 | 298,48 | NO |
| 404,03 | 534,68 | 298,48 | NO |
| 406,20 | 534,68 | 298,48 | NO |
| 425,36 | 534,68 | 298,48 | NO |
| 415,73 | 534,68 | 298,48 | NO |
| 398,82 | 534,68 | 298,48 | NO |
| 251,32 | 534,68 | 298,48 | YES |
| 301,50 | 534,68 | 298,48 | NO |
| 252,54 | 534,68 | 298,48 | YES |
| 483,19 | 534,68 | 298,48 | NO |
| 470,99 | 534,68 | 298,48 | NO |
| 475,28 | 534,68 | 298,48 | NO |
| 498,99 | 534,68 | 298,48 | NO |
| 462,76 | 534,68 | 298,48 | NO |
| 505,63 | 534,68 | 298,48 | NO |
| 469,07 | 534,68 | 298,48 | NO |
| 463,19 | 534,68 | 298,48 | NO |
| 503,29 | 534,68 | 298,48 | NO |
| 455,75 | 534,68 | 298,48 | NO |

2η Μέθοδος Υπολογισμού SEA

$$\bar{D} = \frac{\sum_{i=1}^n D_i}{n} \quad \bar{F} = \frac{\sum_{i=1}^n F_i}{n}$$

$$StD_F = \sqrt{\frac{\sum_{i=1}^n (F_i - \bar{F})^2}{n}}$$

$$\left\{ \begin{array}{l} D_t \geq \bar{D} + (3 - t_a) \cdot StD_F \\ \text{ } \\ D_t \leq \bar{D} - (3 - t_a) \cdot StD_F \end{array} \right.$$

Threshold_a=0.6

| | | 3RD METHOD | |
|--------|--------|------------|---------|
| KMO(5) | KMO(7) | Ratio | is SEA? |
| | | | |
| 337,49 | | | |
| 347,24 | 343,83 | 0,990 | NO |
| 349,14 | 350,23 | 1,003 | NO |
| 358,57 | 352,68 | 0,984 | NO |
| 362,87 | 381,74 | 1,052 | YES |
| 392,28 | 407,09 | 1,038 | NO |
| 422,19 | 430,07 | 1,019 | NO |
| 458,23 | 454,52 | 0,992 | NO |
| 493,25 | 460,56 | 0,934 | YES |
| 500,18 | 469,68 | 0,939 | YES |
| 481,69 | 479,05 | 0,995 | NO |
| 463,60 | 464,57 | 1,002 | NO |
| 440,59 | 455,44 | 1,034 | NO |
| 423,48 | 437,04 | 1,032 | NO |
| 425,30 | 418,23 | 0,983 | NO |
| 421,23 | 422,58 | 1,003 | NO |
| 421,14 | 421,03 | 1,000 | NO |
| 420,73 | 417,18 | 0,992 | NO |
| 410,03 | 393,40 | 0,959 | NO |
| 379,49 | 371,85 | 0,980 | NO |
| 358,55 | 350,21 | 0,977 | NO |
| 323,98 | 361,21 | 1,115 | YES |
| 337,48 | 367,73 | 1,090 | YES |
| 351,91 | 376,24 | 1,069 | YES |
| 396,70 | 390,55 | 0,984 | NO |
| 436,20 | 420,75 | 0,965 | NO |
| 478,24 | 449,91 | 0,941 | YES |
| 482,73 | 480,84 | 0,996 | NO |
| 482,35 | 477,99 | 0,991 | NO |
| 479,93 | 482,60 | 1,006 | NO |
| 480,79 | 479,81 | 0,998 | NO |
| 479,39 | | | |
| | | | |

3η Μέθοδος Υπολογισμού SEA

$$\text{Ratio}_t = \frac{\text{KMO}(7)_t^D}{\text{KMO}(5)_t^D}$$

$$\left\{ \begin{array}{l} \text{Ratio}_t \geq 1,05 - \frac{t_a}{100} \\ \text{ή} \\ \text{Ratio}_t \leq 0,95 + \frac{t_a}{100} \end{array} \right\}$$

Threshold_a=0

| | | 4RD METHOD | |
|--------|--------|------------|---------|
| AX | KKMO | Ratio | is SEA? |
| 317,96 | | | |
| 343,12 | | | |
| 315,61 | 336,30 | 0,9385 | NO |
| 338,78 | 346,60 | 0,977 | NO |
| 372,00 | 354,26 | 1,050 | NO |
| 366,71 | 361,22 | 1,015 | NO |
| 352,62 | 362,44 | 0,973 | NO |
| 362,76 | 382,96 | 0,947 | NO |
| 360,25 | 423,74 | 0,850 | YES |
| 519,05 | 461,77 | 1,124 | YES |
| 516,24 | 503,69 | 1,025 | NO |
| 532,85 | 508,38 | 1,048 | NO |
| 537,86 | 480,16 | 1,120 | YES |
| 394,91 | 457,75 | 0,863 | YES |
| 426,58 | 430,31 | 0,991 | NO |
| 425,82 | 423,30 | 1,006 | NO |
| 417,75 | 429,02 | 0,974 | NO |
| 452,34 | 424,21 | 1,066 | NO |
| 404,03 | 422,96 | 0,955 | NO |
| 406,20 | 418,64 | 0,970 | NO |
| 425,36 | 412,75 | 1,031 | NO |
| 415,73 | 394,59 | 1,054 | NO |
| 398,82 | 361,25 | 1,104 | YES |
| 251,32 | 321,87 | 0,781 | YES |
| 301,50 | 307,95 | 0,979 | NO |
| 252,54 | 342,52 | 0,737 | YES |
| 483,19 | 389,57 | 1,240 | YES |
| 470,99 | 447,35 | 1,053 | NO |
| 475,28 | 480,64 | 0,989 | NO |
| 498,99 | 482,22 | 1,035 | NO |
| 462,76 | 485,36 | 0,953 | NO |
| 505,63 | 479,39 | 1,055 | NO |
| 469,07 | 478,86 | 0,980 | NO |
| 463,19 | 477,85 | 0,969 | NO |
| 503,29 | | | |
| 455,75 | | | |

4η Μέθοδος Υπολογισμού SEA

$$\text{Ratio}_t = \frac{D_t}{\text{KKMO}(k)_t^D}$$

$$\left\{ \begin{array}{l} \text{Ratio}_t \geq 1,1 - \frac{t_a}{100} \\ \text{ή} \\ \text{Ratio}_t \leq 0,9 + \frac{t_a}{100} \end{array} \right\}$$

Threshold_a=0

εφαρμόζεται KKMΟ(4) λόγω της φύσης των δεδομένων



Επιβεβαίωση SEA

2/2001 έως 1/2002

4/2004 έως 2/2005

AX



AX

Υπολογισμός της AX χωρίς τα SEA

| | AX | FINAL AX |
|--------|--------|----------|
| ... | ... | ... |
| 1/2001 | 360,25 | 360,25 |
| 2/2001 | 519,05 | 367,18 |
| 3/2001 | 516,24 | 374,12 |
| 4/2001 | 532,85 | 381,05 |
| 1/2002 | 537,86 | 387,98 |
| 2/2002 | 394,91 | 394,91 |
| 3/2002 | 426,58 | 426,58 |
| 4/2002 | 425,82 | 425,82 |
| 1/2003 | 417,75 | 417,75 |
| 2/2003 | 452,34 | 452,34 |
| 3/2003 | 404,03 | 404,03 |
| 4/2003 | 406,20 | 406,20 |
| 1/2004 | 425,36 | 425,36 |
| 2/2004 | 415,73 | 415,73 |
| 3/2004 | 398,82 | 398,82 |
| 4/2004 | 251,32 | 419,91 |
| 1/2005 | 301,50 | 441,00 |
| 2/2005 | 252,54 | 462,10 |
| 3/2005 | 483,19 | 483,19 |
| ... | ... | ... |

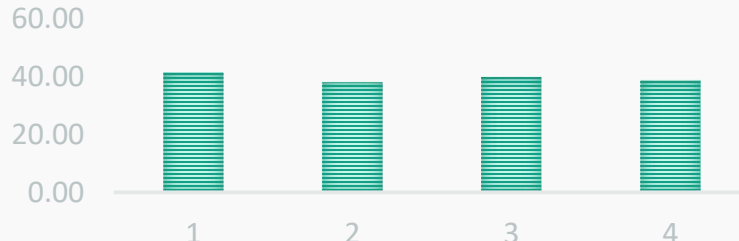
$$D'_t = (t - t_0) \cdot \frac{D_{t_0+n+1} - D_{t_0}}{n + 1} + D_{t_0}$$

Υπολογισμός των Impacts

Επιχειρηματικές Προβλέψεις: Μέθοδοι & Τεχνικές

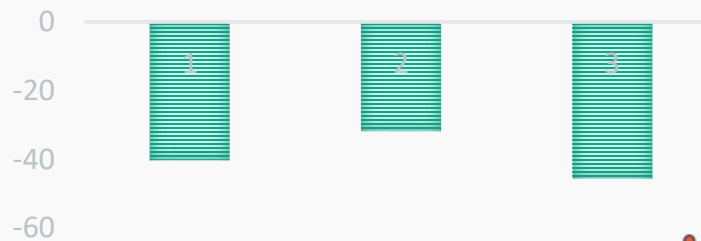
| | AX | FINAL AX | Impact |
|--------|--------|----------|--------|
| ... | ... | ... | ... |
| 1/2001 | 360,25 | 360,25 | |
| 2/2001 | 519,05 | 367,18 | 41,36 |
| 3/2001 | 516,24 | 374,12 | 37,99 |
| 4/2001 | 532,85 | 381,05 | 39,84 |
| 1/2002 | 537,86 | 387,98 | 38,63 |
| 2/2002 | 394,91 | 394,91 | |
| 3/2002 | 426,58 | 426,58 | |
| 4/2002 | 425,82 | 425,82 | |
| 1/2003 | 417,75 | 417,75 | |
| 2/2003 | 452,34 | 452,34 | |
| 3/2003 | 404,03 | 404,03 | |
| 4/2003 | 406,20 | 406,20 | |
| 1/2004 | 425,36 | 425,36 | |
| 2/2004 | 415,73 | 415,73 | |
| 3/2004 | 398,82 | 398,82 | |
| 4/2004 | 251,32 | 419,91 | -40,15 |
| 1/2005 | 301,50 | 441,00 | -31,63 |
| 2/2005 | 252,54 | 462,10 | -45,35 |
| 3/2005 | 483,19 | 483,19 | |
| ... | ... | ... | ... |

IMPACT OF 1ST SEA

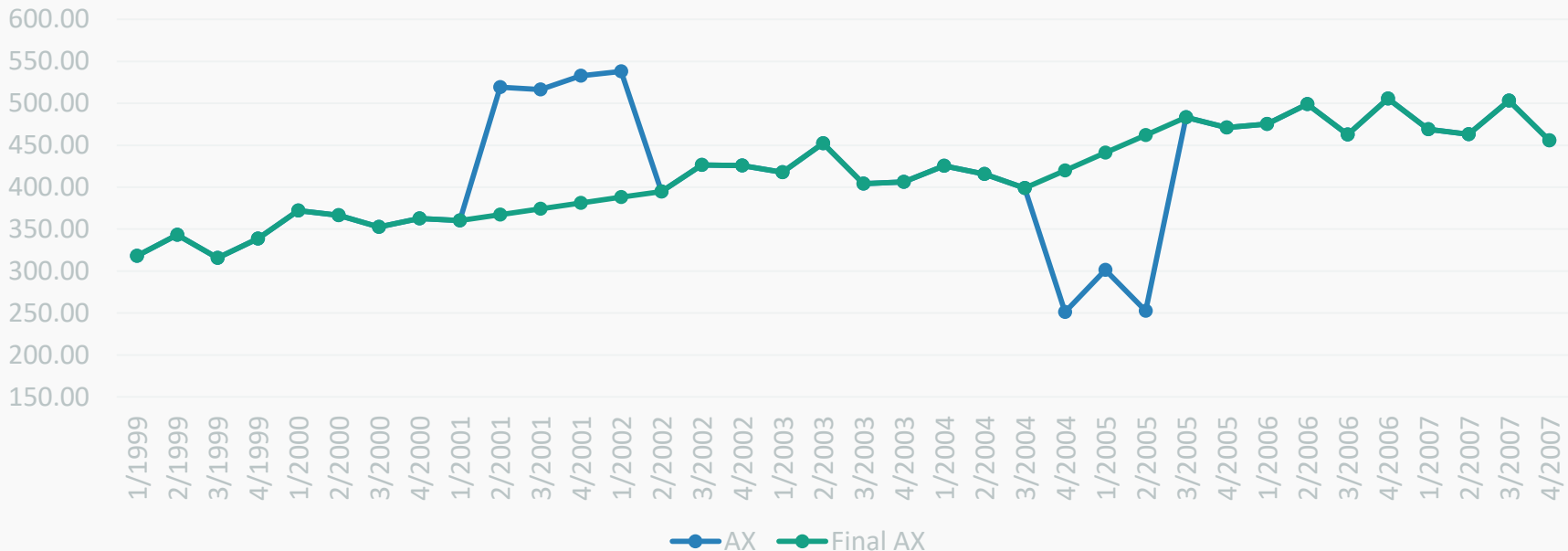


$$\text{Impact}_t = \frac{D_t - D'_t}{D'_t} \cdot 100 \ (\%)$$

IMPACT OF 2ND SEA



AX χωρίς τα SEA





Feel free to say hi!

We are friendly and social

Ηρώων Πολυτεχνείου 9, Ζωγράφος

ΑΤΤΙΚΗ, 15780, Ελλάδα

E-mail: info@fsu.gr

Τηλέφωνο: 2107723637 Fax: 2107723740

Κτίριο της Σχολής Ηλεκτρολόγων Μηχανικών και Μηχανικών Υπολογιστών
2ος όροφος - 2.2.1 Εργαστήριο



@FSU NTUA



Μονάδα
Προβλέψεων και
Στρατηγικής ΕΜΠ



lesson@fsu.gr

